



HAL
open science

COPÉPODES HARPACTICOÏDES DE BANYULS-SUR-MER 6. NOUVELLES FORMES ASSOCIÉES À DES BRYOZOAIREs

A Médioni, J Soyer

► **To cite this version:**

A Médioni, J Soyer. COPÉPODES HARPACTICOÏDES DE BANYULS-SUR-MER 6. NOUVELLES FORMES ASSOCIÉES À DES BRYOZOAIREs. *Vie et Milieu*, 1967, pp.317-344. hal-02951557

HAL Id: hal-02951557

<https://hal.sorbonne-universite.fr/hal-02951557>

Submitted on 28 Sep 2020

HAL is a multi-disciplinary open access archive for the deposit and dissemination of scientific research documents, whether they are published or not. The documents may come from teaching and research institutions in France or abroad, or from public or private research centers.

L'archive ouverte pluridisciplinaire **HAL**, est destinée au dépôt et à la diffusion de documents scientifiques de niveau recherche, publiés ou non, émanant des établissements d'enseignement et de recherche français ou étrangers, des laboratoires publics ou privés.

— 318 —

ECTINOSOMIDAE Sars
POLLICARIA - n. sp.

Diagnosis

COPÉPODES HARPACTICOÏDES DE BANYULS-SUR-MER

6. NOUVELLES FORMES ASSOCIÉES À DES BRYOZOAIRES

par A. MÉDIONI et J. SOYER
Laboratoire Arago, 66 - Banyuls-sur-Mer

SOMMAIRE

Les auteurs décrivent un genre nouveau et trois espèces inédites de Copépodes Harpacticoïdes : deux semblent vivre électivement sur certains Bryozoaires de la région de Banyuls, la localisation de la troisième est plus incertaine.

Dans une note actuellement sous-presse (MÉDIONI et SOYER, 1966), nous avons signalé la présence pratiquement constante sur *Schismopora armata* (HINCKS, 1860) d'un *Laophontidae* T. SCOTT dont la position systématique était délicate à établir. La prospection et la récolte en plongée nous ont permis de découvrir trois nouvelles formes : un *Ectinosomidae* Sars (*part.*) sur *Schizomavella linearis* (HASSAL, 1841), un *Tegastidae* Sars sur *Schizobrachiella sanguinea* (NORMAN, 1868) et un *Thalestridae* Sars. Ce dernier, appartenant au genre *Idomene* Philippi a été récolté en un seul exemplaire dans un grattage et son association avec un Bryozoaire n'a pu être établie avec certitude.

Ces trois formes nous sont apparues originales. Malheureusement les descriptions anciennes d'espèces des genres *Tegastes* et *Idomene* souffrent de nombreuses lacunes. Suivant les indications de LANG (1965, p. 161) nous avons fait une description aussi complète que possible des individus en notre possession et avons préféré créer deux espèces nouvelles.

ECTINOSOMIDAE Sars

PELTOBRADYA n.g.

DIAGNOSE

Partie antérieure du corps aplatie, céphalothorax et segments thoraciques élargis — rostre peu marqué — antennule courte, à six segments plus ou moins télescopés, subchirocère chez le mâle — antenne avec basis, exopodite à trois articles — mandibule avec exopodite et endopodite articulés — maxille avec endopodite triarticulé — maxillipède non préhensile — P 1 avec exopodite à trois articles, endopodite biarticulé — P 2 - P 4 à deux rames de trois articles — P 5 avec exopodite articulé armé d'une soie accessoire et de trois soies marginales, baséoendopodite à lobe interne bien marqué portant deux soies, P 5 du mâle cf. P 5 femelle mais baséoendopodite à lobe interne réduit armé de deux soies.

La diagnose de ce genre fondé sur cette unique espèce doit être considérée comme provisoire.

PELTOBRADYA BRYOZOOPHILA n.sp.

MATÉRIEL EXAMINÉ et LOCALITÉ-TYPE.

3 ♀♀, 2 ♂♂, nombreux copépodites — sur *Schizomavella linearis* (HASSAL, 1841), Coralligène (15 m de fond), Cap Rédéris.

2 ♀♀ et 2 ♂♂ ont été entièrement disséqués. La présente description est fondée sur la dissection de ces quatre exemplaires.

FEMELLE

Nos exemplaires étaient de très petite taille : 255 μ , 272 μ et 285 μ . Les dimensions principales de la femelle de 272 μ étaient les suivantes : céphalothorax : 100 μ — métasome : 80 μ — urosome : 80 μ — rames furcales : 12 μ — largeur maximale (bord postérieur du céphalothorax) : 125 μ .

La forme générale du corps est caractérisée par la grande largeur du céphalothorax qui forme une sorte de petit bouclier et par l'aplatissement marqué des segments thoraciques 2-4. Le bouclier céphalique se termine à sa partie antérieure par un rostre peu mar-

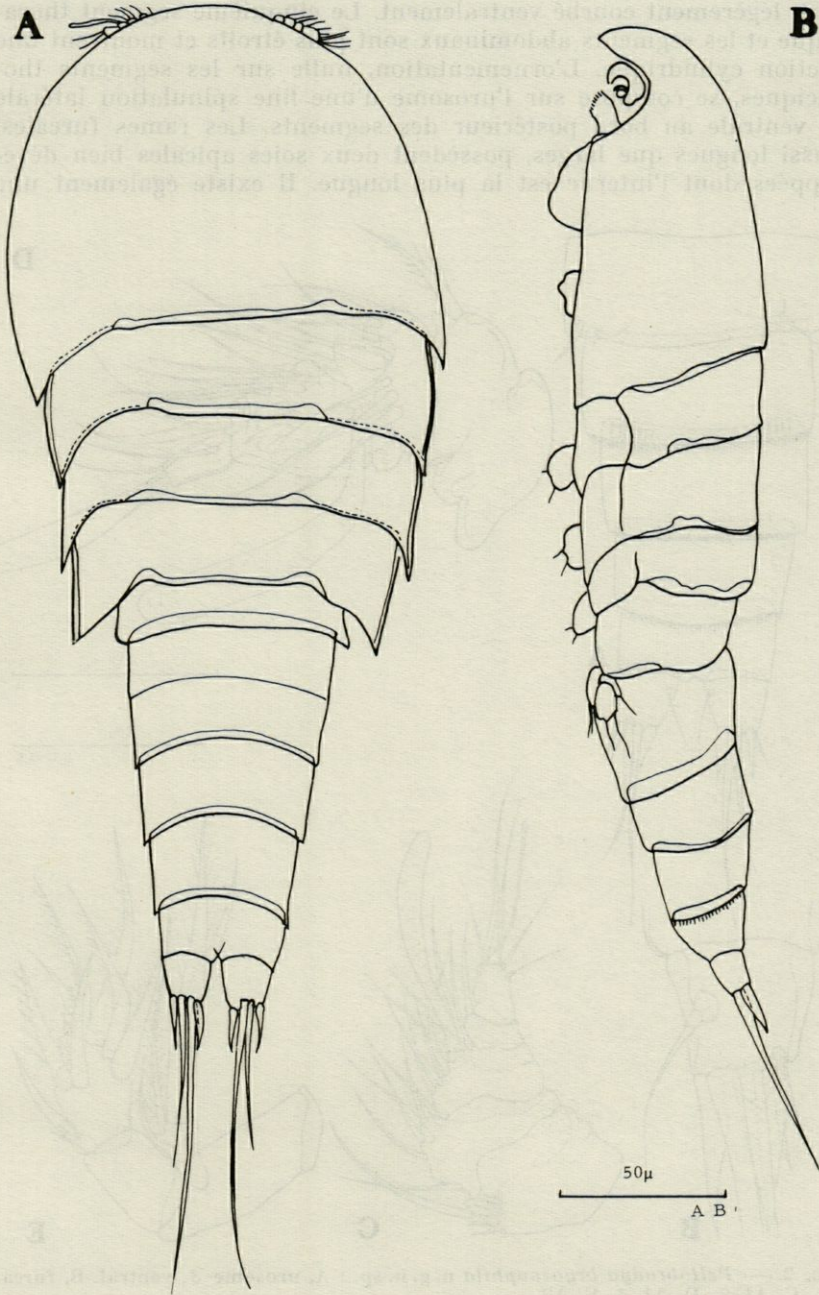


FIG. 1. — *Peltobradya bryozoophila* n. g. n. sp. : A, B, habitus.

qué, légèrement courbé ventralement. Le cinquième segment thoracique et les segments abdominaux sont plus étroits et montrent une section cylindrique. L'ornementation, nulle sur les segments thoraciques, se compose sur l'urosome d'une fine spinulation latérale et ventrale au bord postérieur des segments. Les rames furcales, aussi longues que larges, possèdent deux soies apicales bien développées dont l'interne est la plus longue. Il existe également une

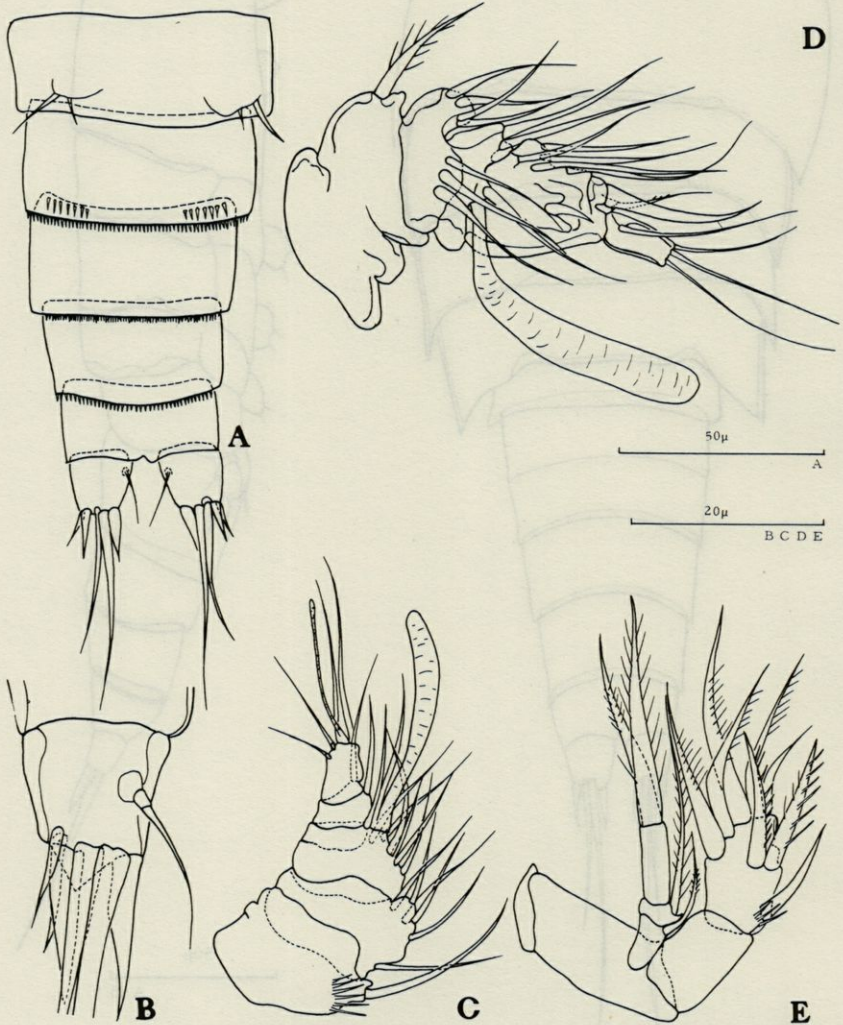


FIG. 2. — *Peltobradya bryozoophila* n. g. n. sp. : A, urosome ♂, ventral. B, furca. C, A1 ♀. D, A1 ♂. E, A2.

courte soie dorsale et deux soies latérales, interne et externe, spini-formes. A la face supérieure de la rame furcale s'observe une sorte de nodule chitineux portant une soie articulée.

La dissection des différents appendices a été rendue particulièrement délicate du fait de la faible taille des individus en notre possession.

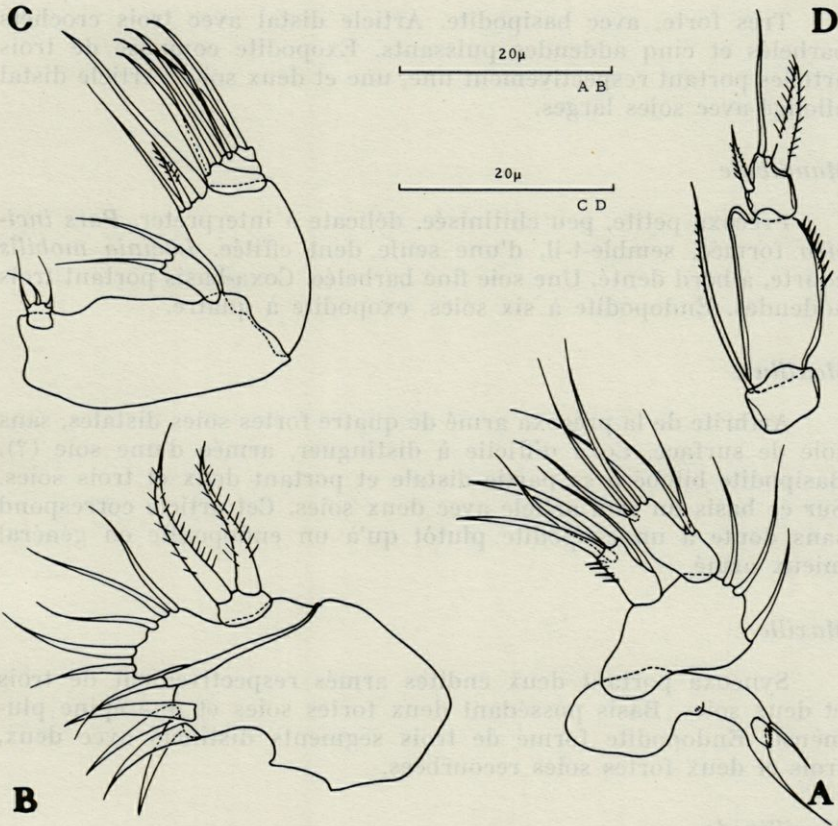


FIG. 3. — *Peltobradya bryozoophila* n. g. n. sp. : A, mandibule. B, maxillule. C, maxille. D, maxillipède.

Antennule.

Composée de six articles courts. Premier article avec une rangée de spinules et une longue soie plumeuse. Deuxième article avec cinq soies. Troisième article avec six soies et un aesthétasque qui dépasse largement l'extrémité de l'appendice. La base de cet aesthétasque

est commune à une soie. Quatrième article court, avec une soie, cinquième portant deux soies. Distal aussi long que les deux précédents réunis, avec deux longues soies apicales, un aesthétasque fin à base commune à une soie et deux soies articulées.

Antenne

Très forte, avec basipodite. Article distal avec trois crochets barbelés et cinq addendes puissants. Exopodite composé de trois articles portant respectivement une, une et deux soies. Article distal allongé avec soies larges.

Mandibule

Précoxa petite, peu chitinisée, délicate à interpréter. *Pars incisiva* formée, semble-t-il, d'une seule dent effilée. *Lacinia mobilis* courte, à bord denté. Une soie fine barbelée. Coxa-basis portant trois addendes. Endopodite à six soies, exopodite à quatre.

Maxillule

Arthrite de la précoxa armé de quatre fortes soies distales, sans soie de surface. Coxa difficile à distinguer, armée d'une soie (?). Basipodite bilobé à sa partie distale et portant deux et trois soies. Sur ce basis un seul article avec deux soies. Cet article correspond sans doute à un exopodite plutôt qu'à un endopodite en général mieux armé.

Maxille

Syncoxa portant deux endites armés respectivement de trois et deux soies. Basis possédant deux fortes soies et une épine plumeuse. Endopodite formé de trois segments distincts avec deux, trois et deux fortes soies recourbées.

Maxillipède

Basis court, armé d'une longue soie plumeuse. Endopodite de deux segments : premier inerme avec expansion distale interne, second avec trois addendes : une forte épine barbelée, une courte soie et une soie fine.

Pattes thoraciques

Endopodite de P1 biarticulé. Proximal avec soie interne, distal armé de quatre addendes. Exopodite à trois articles : médian avec

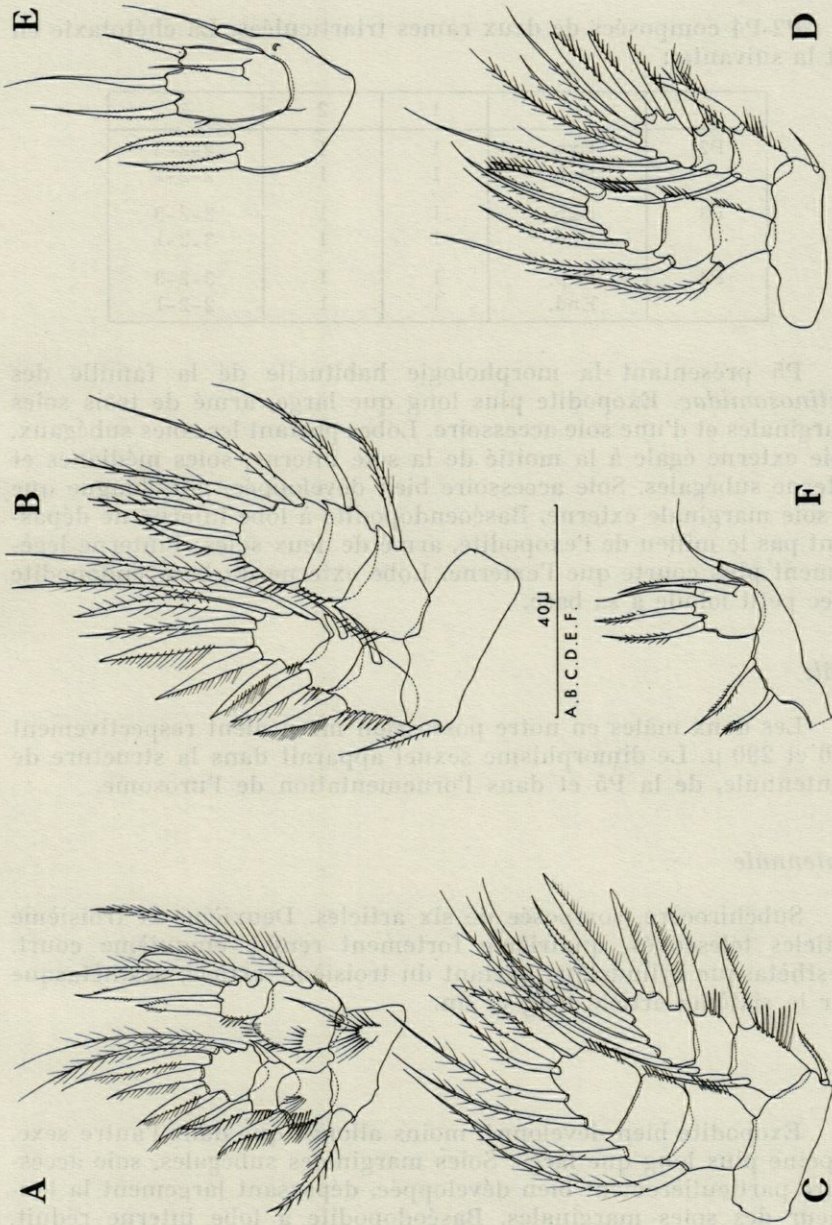


FIG. 4. — *Peltobradya bryozoophila* n. g. n. sp. : A, P1. B, P2. C, P3. D, P4. E, P5 ♀. F, P5 ♂.

soie interne, distal avec trois épines externes, deux apicales et une soie interne.

P2-P4 composées de deux rames triarticulées. La chétotaxie en est la suivante :

		1	2	3
P2	Exp.	1	1	2-2-3
	End.	1	1	2-2-1
P3	Exp.	1	1	3-2-3
	End.	1	1	3-2-1
P4	Exp.	1	1	3-2-3
	End.	1	1	2-2-1

P5 présentant la morphologie habituelle de la famille des *Ectinosomidae*. Exopodite plus long que large, armé de trois soies marginales et d'une soie accessoire. Lobes portant les soies subégales. Soie externe égale à la moitié de la soie interne, soies médianes et interne subégales. Soie accessoire bien développée, plus longue que la soie marginale externe. Baséoendopodite à lobe interne ne dépassant pas le milieu de l'exopodite, armé de deux soies; l'interne légèrement plus courte que l'externe. Lobe externe du baséoendopodite avec petit lobule à sa base.

Mâle

Les deux mâles en notre possession mesuraient respectivement 260 et 290 μ . Le dimorphisme sexuel apparaît dans la structure de l'antennule, de la P5 et dans l'ornementation de l'urosome.

Antennule

Subchirocère, composée de six articles. Deuxième et troisième articles télescopés, quatrième fortement renflé, cinquième court. Aesthétasque cylindrique partant du troisième article, aesthétasque sur le sixième article long et fin.

P5

Exopodite bien développé, moins allongé que dans l'autre sexe, à peine plus long que large. Soies marginales subégales, soie accessoire particulièrement bien développée, dépassant largement la longueur des soies marginales. Baséodopodite à lobe interne réduit, armé de deux soies dont l'interne est la plus courte.

Urosome

Pas d'ornementation dorsale, fine spinulation latérale et ventrale au bord postérieur des segments de l'urosome. Second segment avec deux peignes supplémentaires de sept spinules ventrales plus fortes.

JUSTIFICATION

Cinq genres de la famille des *Ectinosomidae* sont actuellement connus comme possédant un endopodite de P1 à deux articles : *Sigmatidium* Giesbrecht, *Bradyellopsis* Bryan, *Halophytophilus* Brian, *Ectinosomoides* Nicholls et *Noodtiella* Wells. Parmi ceux-ci, seul *Halophytophilus* ne présente pas de réduction importante de la chétotaxie des articles distaux des exopodites ou du nombre d'articles des endopodites P2-P4. La chétotaxie de *Peltobradya bryozoo-phila* est comparable à celle que l'on rencontre dans ce dernier genre mais il faut signaler que les deux rames de P2-P4 sont ici particulièrement courtes, avec des articles ramassés, un peu analogues à celles du genre *Bradya* Boeck, en particulier du sous-genre *Parabradya* Lang.

L'exopodite de l'antenne bien développé, le faible allongement de l'article proximal de l'endopodite de P1, l'aplatissement du céphalothorax et des segments thoraciques 2-4 dans une famille où l'on observe généralement un céphalothorax cylindrique effilé ou rectangulaire apparaissent comme les caractères les plus originaux de cette forme.

TEGASTIDAE SARS

TEGASTES NORMAN

Comme le fait remarquer LANG (1948, 1965), bien peu de description de formes appartenant à la famille des *Tegastidae* ont été faites de façon satisfaisante. Seuls la forme du corps, le maxillipède et la P5 sont en général étudiés, ce qui rend l'identification particulièrement délicate.

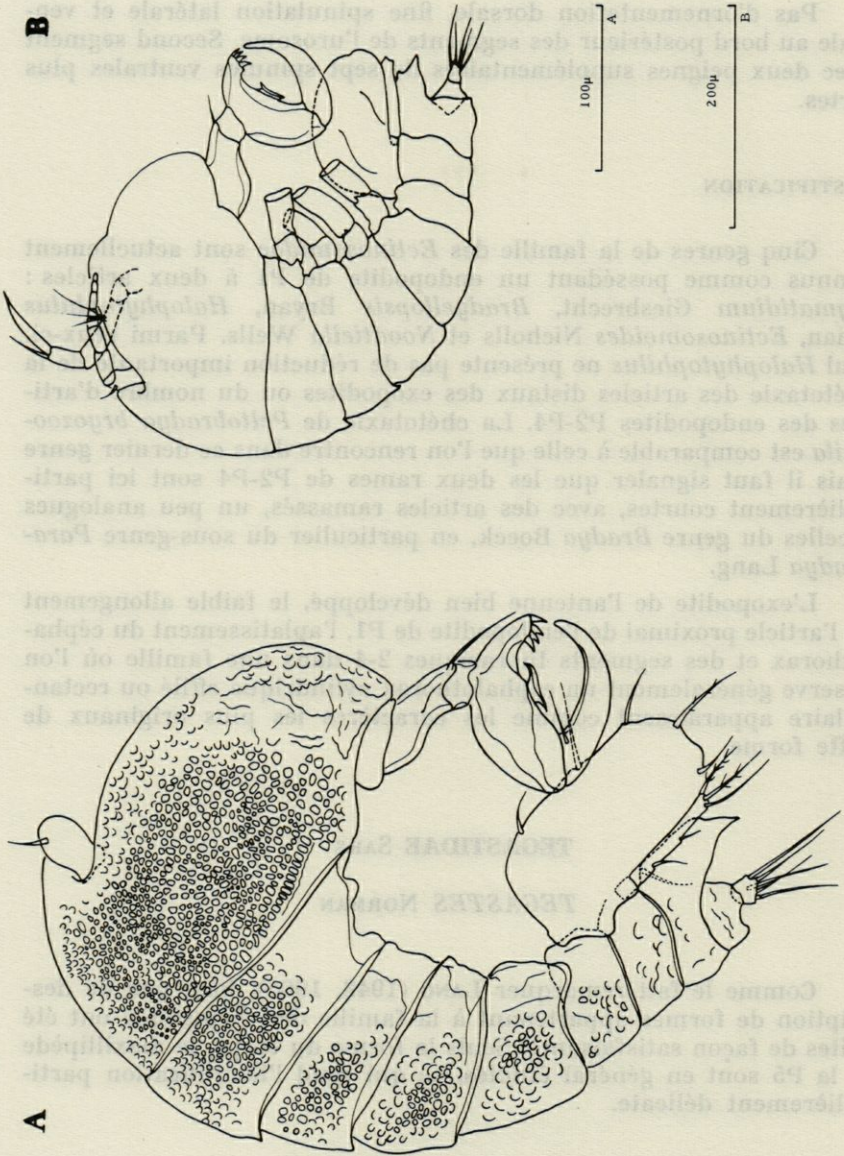


FIG. 5. — *Tegastes knoeppfleri* n. sp. : A, habitus. B, aspect général.

TEGASTES KNOEPFLERI n.sp.

MATÉRIEL EXAMINÉ et LOCALITÉ-TYPE

2 ♀♀, 3 ♂♂, nombreux copépodites — Sur *Schizobrachiella sanguinea* (NORMAN, 1868), fonds rocheux (6 m de fond) de la calanque du Troc.

FEMELLE

Les deux exemplaires en notre possession mesuraient approximativement 455 μ et 472 μ . Le tégument du céphalothorax, des somites thoraciques et du segment génital est aréolé, le bord antérieur des aréoles étant mieux marqué que le bord postérieur. Le céphalothorax très haut montre des prolongements latéraux faibles, arrondis. Le segment génital se prolonge vers l'arrière en pointe aiguë. Les rames furcales sont normales, petites.

Antennule

Formée de huit articles. Premier segment plus court que le second, troisième et quatrième subégaux, les quatre derniers aussi longs que les deux précédents réunis. Chétotaxie composée de soies fines : 1, 11, 7, 3 + aesthétasque, 2, 3, 2, 3 + 4 soies articulées + aesthétasque. Les aesthétasques qui ont leur base en commun avec une soie sont donc portés par le quatrième et le huitième article. Le premier aesthétasque dépasse légèrement l'extrémité de l'antennule.

Antenne

Présente un basipodite. Deuxième article avec une soie, distal armé de trois fortes épines, de quatre soies fines et surtout de deux très forts crochets dont l'externe est le plus long. Exopodite biarticulé : proximal armé d'une soie, distal réduit avec deux soies fines.

Mandibule

De dissection délicate. Précoxa forte avec *pars incisiva* formée de deux dents, *lacinia mobilis* large, à bord denté, quatre épines

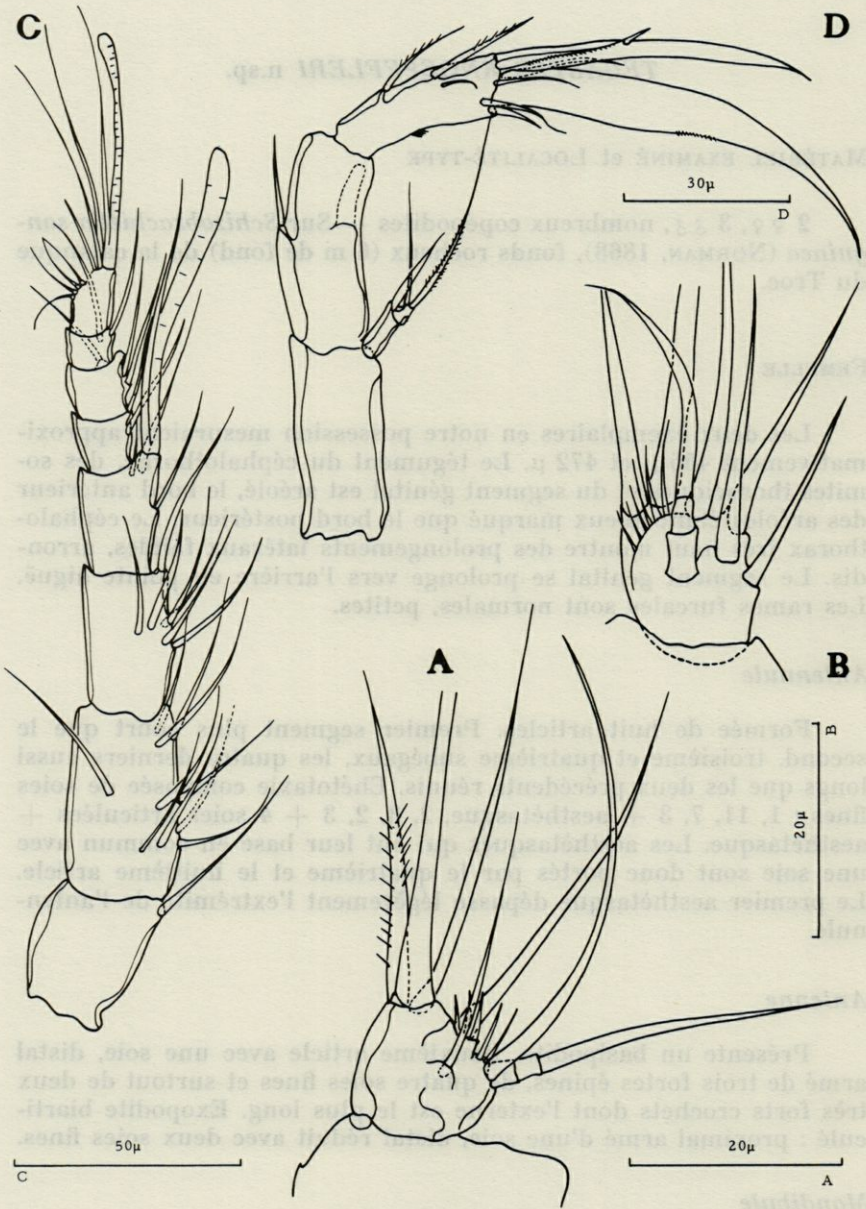


FIG. 6. — *Tegastes knoeffleri* n. sp. : A, furca (latéral). B, furca (dorsal).
C, A1. D, A2.

transformées et soie interne (?). Coxa-basis portant quatre soies en deux groupes, interne et externe, endopodite à cinq soies.

Maxillule

Arthrite de la précoxa armé de six crochets et deux épines barbelées, pas de soie de surface (?). Coxa étroite avec fort addende barbelé. Basipodite avec deux fortes soies barbelées, une épine et une soie fine. Endopodite très court avec deux soies, exopodite plus long portant trois soies.

Maxille

Syncoxa allongée, avec deux endites : proximal en forme de tubercule portant trois addendes, distal normal avec deux soies. Basis armé de trois épines barbelées distales. Palpe d'un seul article muni à son apex d'un fort crochet et d'une soie, au bord externe de deux groupes de deux soies. A son bord externe, la syncoxa présente une rangée de fortes spinules et une soie plumeuse.

Maxillipède

De très grande taille. Coxa courte. Basis allongé avec courte soie plumeuse apicale interne. Partie interne du premier segment de l'endopodite avec quatre fortes épines et plusieurs de taille moindre, concave dans sa partie distale, munie d'une formation sca-phoïde ciliée. Second segment en crochet avec deux soies fines à la base.

Pattes thoraciques

P1 composée d'un exopodite et d'un endopodite d'un seul article. Coxa courte, basis allongé avec une soie interne et une soie externe. Exopodite légèrement plus court que l'endopodite, armé de cinq soies (trois externes et deux apicales). Endopodite avec six addendes.

P2-P4 à deux rames triarticulées. Coxa courte, basis allongé avec très courte soie externe (?). La chétotaxie en est la suivante :

		1	2	3
P2	Exp.	1	1	2-2-2
	End.	1	2	2-2-1
P3	Exp.	1	1	3-2-2
	End.	1	2	3-2-1
P4	Exp.	0	1	3-2-2
	End.	1	2	2-2-1

Soie interne médiane de l'exopodite de P4 particulièrement forte.

P5 avec baséoendopodite quadrangulaire armé de cinq soies, exopodite rectangulaire allongé avec cinq soies également, lobe externe du baséoendopodite peu marqué avec une courte soie fine.

MÂLE

La taille des individus en notre possession était la suivante : 443 μ et 450 μ . Le dimorphisme sexuel apparaissait dans l'antennule, la P5 et la morphologie du segment génital.

Antennule

Faiblement préhensile, à huit articles. Premier et second segments subégaux, troisième court, quatrième allongé, cinquième court, sixième et septième subégaux, distal conique. Chétotaxie complexe. Aesthétasques portés par les troisième, quatrième et huitième segments.

P5

Baséoendopodite réduit. Exopodite très allongé (10 fois plus long que large) armé de quatre soies.

Segment génital

Segment génital large, quadrangulaire : bord antérieur distal arrondi, lobe distal postérieur aigu, angle postérieur proximal acuminé.

JUSTIFICATION

Cette forme présente un certain nombre de caractères proches de ceux reconnus par MONARD (1936) sur *T. seurati* notamment la morphologie du segment génital femelle et de la P5, et l'ornemen-



FIG. 7. — *Tegastes knoepffleri* n. sp. : A, mandibule. B, maxillule. C, maxille. D, maxillipède.

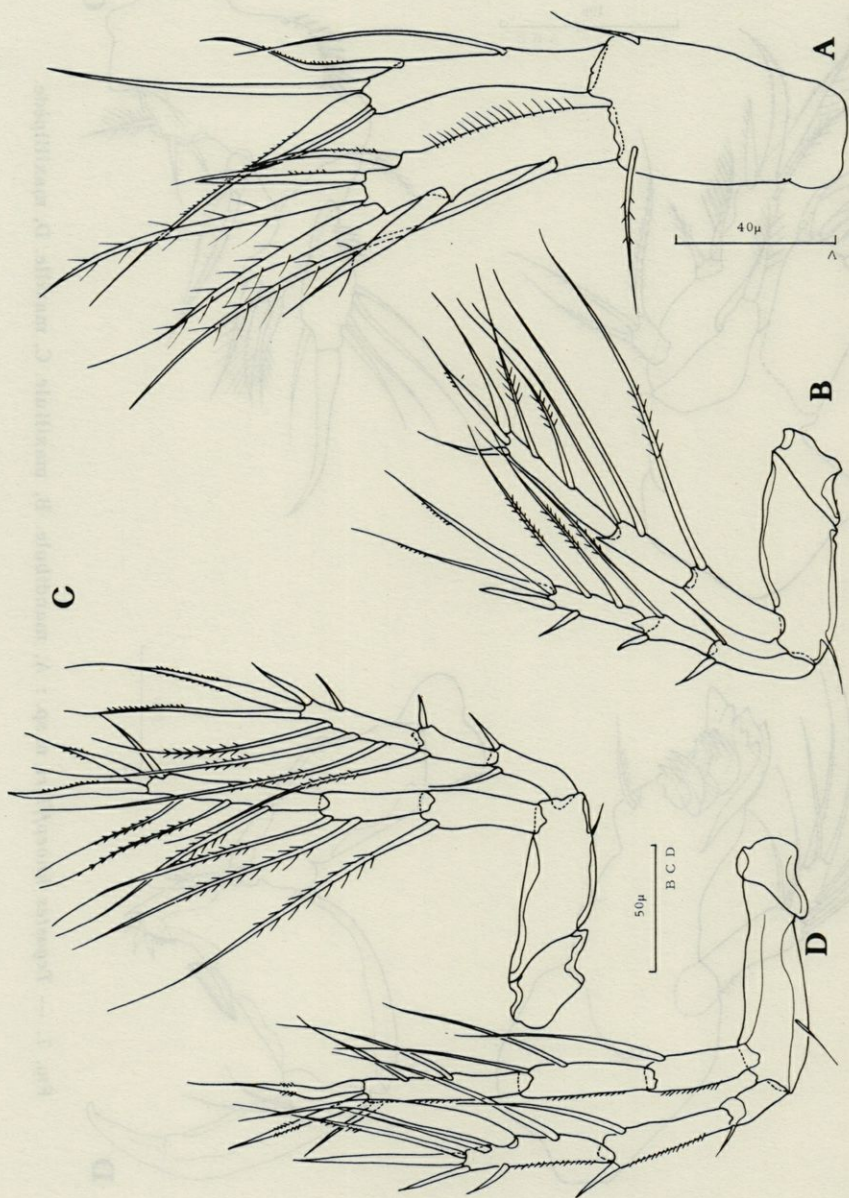


FIG. 8. — *Tegastes knoepffleri* n. sp. : A, P1, B, P2, C, P3, D, P4.

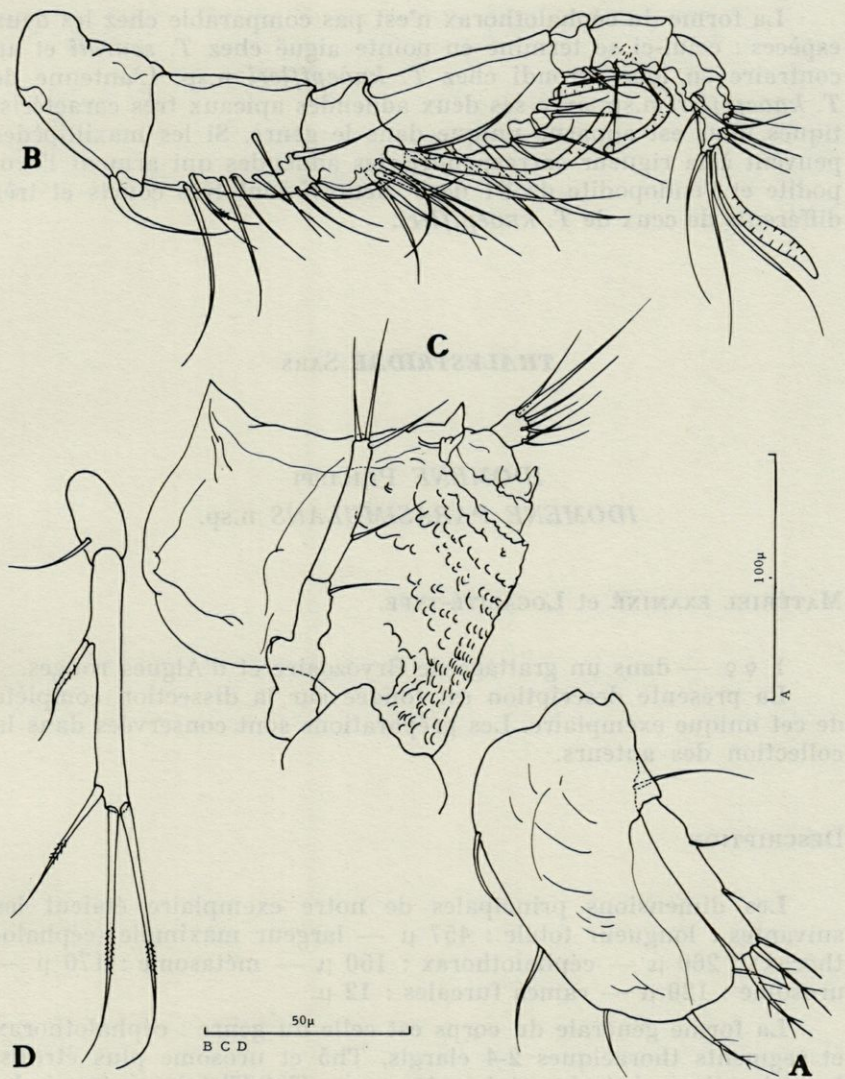


FIG. 9. — *Tegastes knoeffleri* n. sp. : A, P5 ♀. B, A1 ♂. C, segment génital ♂. D, P5 ♂.

tation générale. Cependant la description de MONARD est très incomplète et les figures qu'il donne de cette espèce nous ont paru particulièrement imprécises. Aussi nous bornerons-nous à indiquer les caractères différentiels entre les deux espèces, qui n'auraient pas dû échapper à MONARD même lors d'un examen sommaire.

La forme du céphalothorax n'est pas comparable chez les deux espèces : celui-ci se termine en pointe aiguë chez *T. seurati* et au contraire en lobe arrondi chez *T. knoeppfleri* n.sp. L'antenne de *T. knoeppfleri* n.sp. avec ses deux addendes apicaux très caractéristiques nous est apparue unique dans le genre. Si les maxillipèdes peuvent à la rigueur correspondre, les addendes qui arment l'exopodite et l'endopodite de P1 de *T. seurati* sont très courts et très différents de ceux de *T. knoeppfleri*.

THALESTRIDAE SARS

IDOMENE PHILIPPI

IDOMENE PARASIMULANS n.sp.

MATÉRIEL EXAMINÉ et LOCALITÉ-TYPE.

1 ♀♀ — dans un grattage de Bryozoaire et d'Algues rouges.

La présente description est fondée sur la dissection complète de cet unique exemplaire. Les préparations sont conservées dans la collection des auteurs.

DESCRIPTION

Les dimensions principales de notre exemplaire étaient les suivantes : longueur totale : 457 μ — largeur maximale (céphalothorax) : 260 μ — céphalothorax : 150 μ — métasome : 170 μ — urosome : 120 μ — rames furcales : 12 μ .

La forme générale du corps est celle du genre : céphalothorax et segments thoraciques 2-4 élargis, Th5 et urosome plus étroits. La coloration générale est jaunâtre avec Th2-Th4 brun foncé. Le tégument est très finement ponctué, l'ornementation complexe :

Céphalothorax à bord postérieur festonné dans sa partie médiane, présentant cinq épines latérales.

Th2-Th4 avec trois épines latérales.

U1-U2 soudés, formant le segment génital. La suture est visible latéralement. U1 avec un bouton chitineux médian dorsal, deux boutons latéro-dorsaux et quatre épines latérales. U2 avec bouton

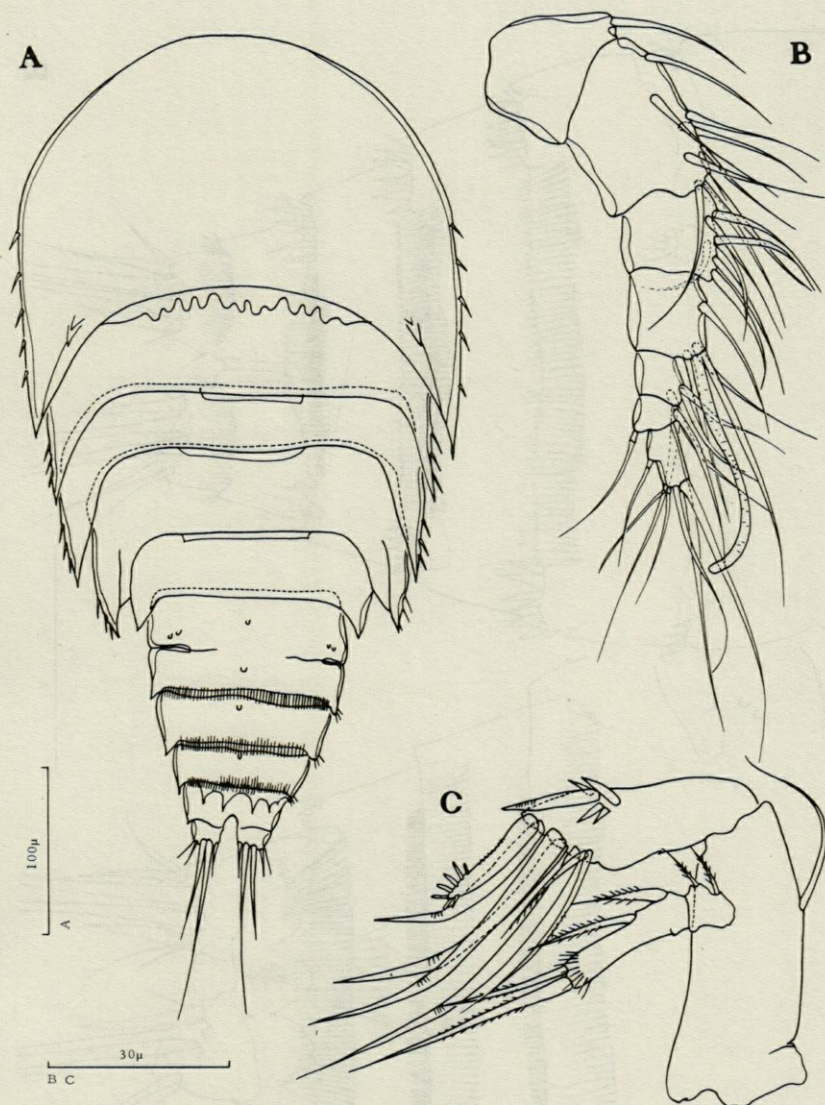


FIG. 10. — *Idomene parasimulans* n. sp. : A, habitus. B, A1. C, A2.

dorsal médian. Bord postérieur du segment différencié latéralement en un éperon arrondi portant 7-8 fortes épines. Dorsalement muni d'une rangée de fines spinules, son bord libre portant une frange de courtes épines mousses. Ventralement, avec une rangée de fines

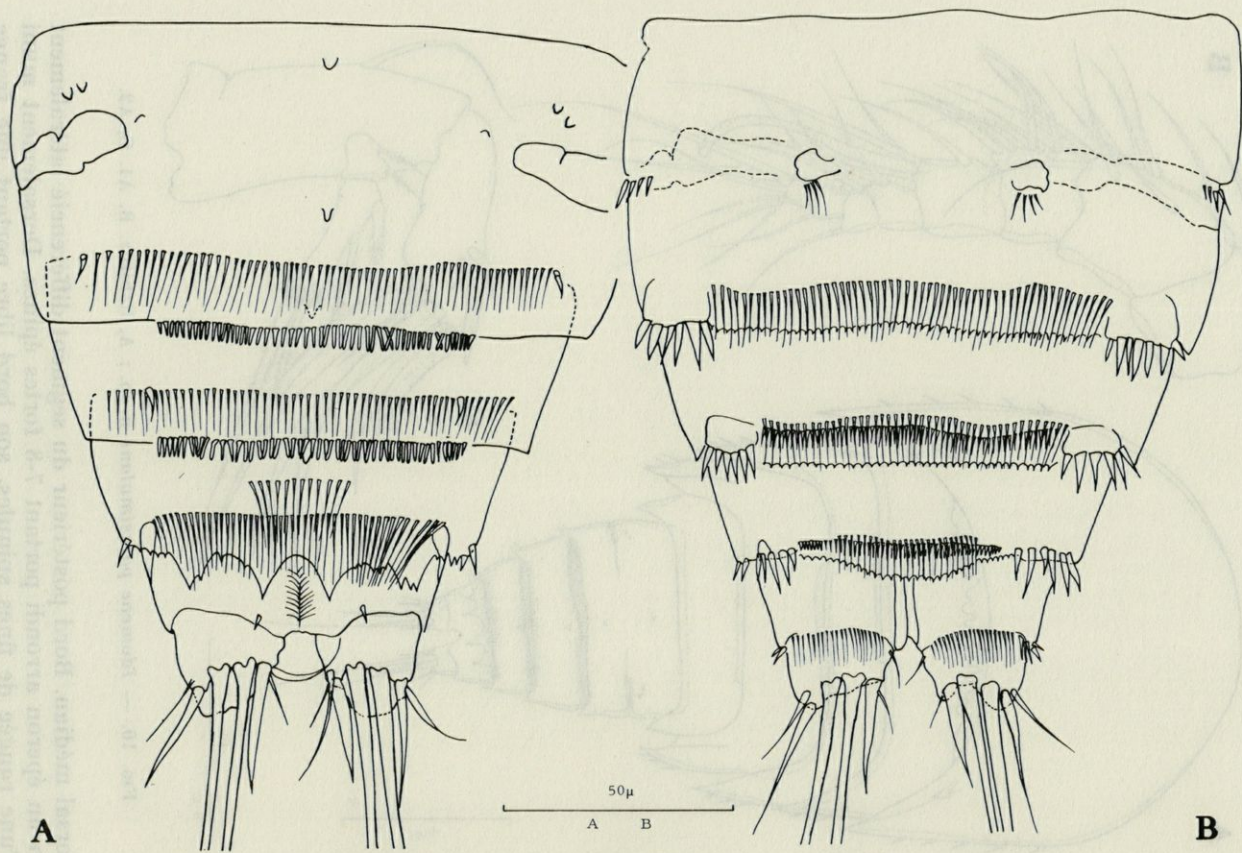


FIG. 11. — *Idomene parasimulans* n. sp. : A, urosome (dorsal), B, urosome (ventral).

spinules moins allongées que dorsalement, bord libre finement dentelé.

U3 présentant le même type d'ornementation : bouton médian dorsal, lobe latéral à six fortes épines, longues spinules dorsales avec frange d'épines mousses au bord libre. Ventralement ornementation plus complexe que sur U2 : bord postérieur dentelé, longues spinules se superposant à une rangée de courtes épines.

U4 avec bordure dorsale très découpée, bouton chitineux médio-dorsal, frange postérieure de longues spinules et peigne supplémentaire de spinules particulièrement fines. Ventralement, bord postérieur dentelé, lobe latéral peu marqué armé de sept fortes épines, longues spinules habituelles recouvrant la rangée de courtes épines.

U5 avec deux boutons chitineux dorsaux proches de la base des rames furcales, celles-ci protégées ventralement par de longues épines.

Rames furcales plus larges que longues. Ventralement base des deux soies apicales protégées par un court prolongement muni de courtes épines de la rame furcale. Soie apicale interne plus longue que l'externe. Dorsalement en position interne, une soie articulée. Chétotaxie complétée par la présence de deux soies marginales, interne et externe, à base entourée de courtes épines.

Antennule

Composée de sept articles nettement distincts. Aesthétasque principal porté par le quatrième. Trois derniers articles plus courts que les deux précédents réunis. Armature suivante : 1, 9, 7, 3 + aesthétasque à base commune avec une soie, 3, 1 + 1 soie articulée, 1 + 3 soies articulés + aesthétasque à base commune avec une soie.

Antenne

Très robuste avec allobase. Une soie sur l'article proximal, deux forts crochets barbelés, quatre soies géniculées et deux soies fines sur le distal. Exopodite de deux articles, portant respectivement deux et quatre soies plumeuses.

Mandibule

Présente un palpe particulièrement développé. Précoxa normale : *pars incisiva* d'une seule dent, *lacinia mobilis* en dent pointue, quatre épines modifiées, à bord tranchant, deux épines simples et une soie barbelée. Coxa-basis avec trois soies et une forte spinulation. Endopodite allongé à deux articles, le proximal armé de

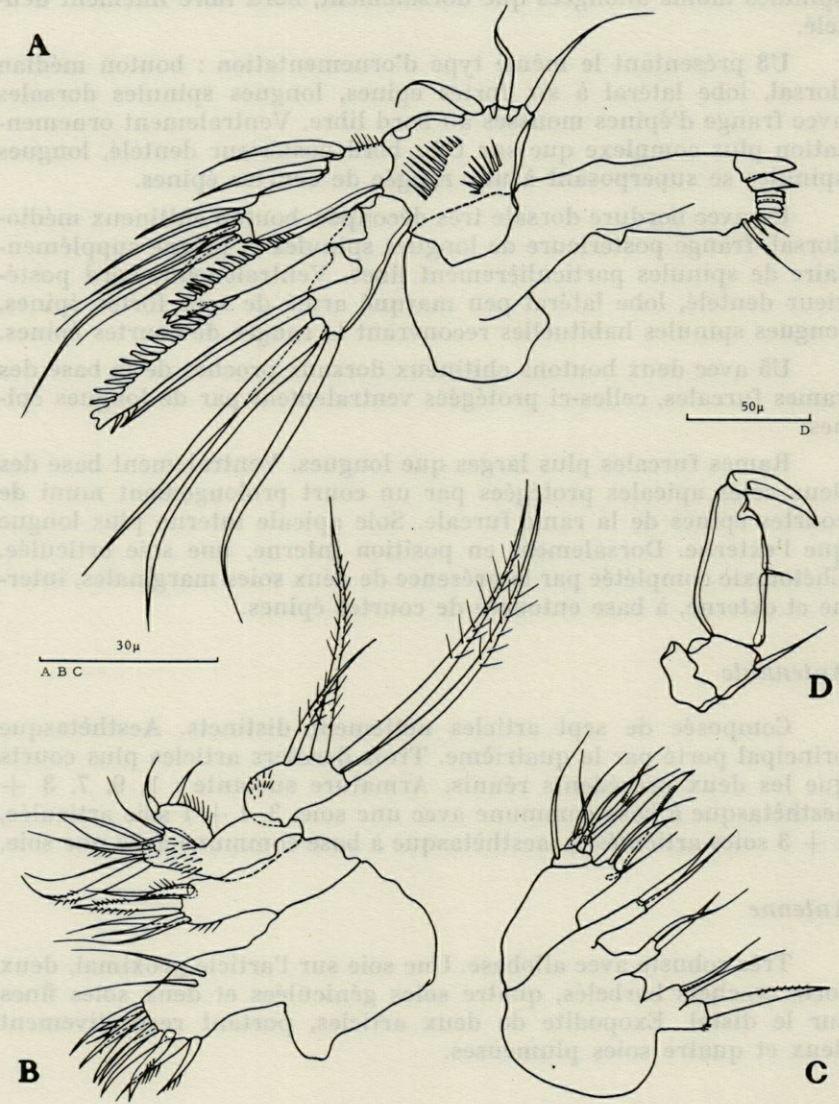


FIG. 12. — *Idomene parasimulans* n. sp. : A, mandibule. B, maxillule. C, maxille. D, maxillipède.

quatre soies comme le distal. Exopodite très puissant, d'un seul article, portant deux très forts addendés barbelés et quatre soies plumeuses.

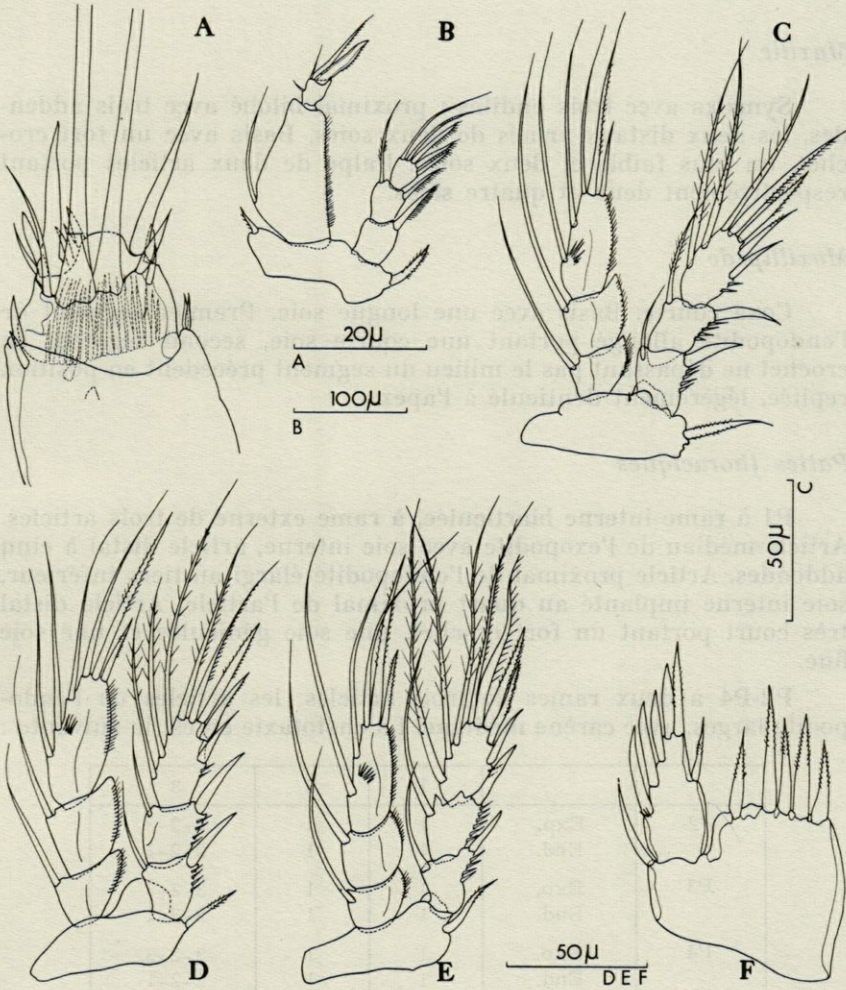


FIG. 13. — *Idomene parasimulans* n. sp. : A, furca (dorsal). B, P1. C, P2. D, P3. E, P4. F, P5.

Maxillule

Arthrite de la précoxa armé de six forts crochets, trois soies barbelées et deux soies de surface. Coxa bien développée avec partie distale portant deux épines barbelées et quatre soies. Basis armé de cinq soies et une épine barbelée, recouvert d'une forte pilosité à l'apex. Endopodite portant deux courtes soies, exopodite avec quatre longues soies plumeuses.

Maxille

Syncoxa avec trois endites : proximal bilobé avec trois addendes, les deux distaux armés de deux soies. Basis avec un fort crochet, un plus faible et deux soies. Palpe de deux articles portant respectivement deux et quatre soies.

Maxillipède

Coxa courte. Basis avec une longue soie. Premier segment de l'endopodite allongé portant une courte soie, second segment en crochet ne dépassant pas le milieu du segment précédent en position repliée, légèrement denticulé à l'apex.

Pattes thoraciques

P1 à rame interne biarticulée, à rame externe de trois articles. Article médian de l'exopodite avec soie interne, article distal à cinq addendes. Article proximal de l'endopodite élargi au tiers inférieur, soie interne implanté au quart proximal de l'article. Article distal très court portant un fort crochet, une soie géniculée et une soie fine.

P2-P4 à deux rames de trois articles, les articles de l'endopodite larges, avec carène médiane. La chétotaxie en est la suivante :

		1	2	3
P2	Exp.	1	1	2-2-3
	End.	1	1	2-2-1
P3	Exp.	1	1	3-2-3
	End.	1	1	2-2-1
P4	Exp.	1	1	3-2-3
	End.	1	1	2-2-1

Cinquième paire de pattes avec baséoendopodite bien développé à lobe interne avec bord distal rectiligne portant cinq fortes soies barbelées subégales. Exopodite conique armé de six soies : trois marginales externes, deux apicales et une plus fine interne.

JUSTIFICATION

I. parasimulans n.sp. présente de nombreux caractères communs avec *I. simulans* (Brady) décrit des côtes du Cap en 1910.

Malheureusement cette description ancienne est trop incomplète et les figures données par l'auteur trop imparfaites pour que nous puissions conclure à l'identité des deux formes. A notre connaissance, *I. simulans* n'a jamais été retrouvée depuis sa description. *I. purpurocincta* (Norman et T. Scott) décrit des côtes d'Angleterre en 1905-1906 est également proche d'*I. simulans*, donc également d'*I. parasimulans* n.sp. Cependant la redescription récente de VERVOORT (1965) d'après du matériel des Iles Carolines (atoll d'Ifaluk) confirme la validité de l'espèce de BRADY, les deux formes différant sur de nombreux points.

D'après la description de BRADY, *I. simulans* et *I. parasimulans* n.sp. ont en commun leur morphologie générale, leur coloration et la présence de trois épines aux bords latéraux des segments thoraciques 2-4. Cependant *I. parasimulans* n.sp. possède également cinq épines latérales au céphalothorax. La comparaison des appendices céphaliques permet de remarquer une composition différente des antennules : six articles chez *I. simulans*, sept dans notre espèce. Les autres appendices ne fournissent pas de critère valable. L'endopodite de P1 et biarticulé L.a P3 telle qu'elle est décrite par BRADY est originale : distal de l'exopodite avec 2-2-2 soies, médian de l'endopodite avec 2, distal avec 2-2-1 soies (?). L'auteur donne également une figure de l'exopodite de P5 armé de six soies comme chez *I. parasimulans* n.sp. Les maxillipèdes apparaissent différents dans les deux formes, les articles qui composent cet appendice chez *I. parasimulans* n.sp. étant beaucoup plus courts, notamment le crochet distal.

Bien que les divergences entre ces deux formes soient minimales, nous avons préféré nommer cette forme en en donnant une description aussi complète que possible.

Parmi les trois formes nouvelles décrites ci-dessus, deux paraissent associées de façon constante avec les Bryozoaires *Schizomavella linearis* et *Schizobrachiella sanguinea*. En effet, nous avons récolté sur ces Bryozoaires de nombreux stades juvéniles de l'une ou l'autre espèce. Il semble donc que le cycle complet s'accomplisse entièrement sur le Bryzoaire. *P. bryozoophila* nous a paru montrer une série de caractères adaptatifs intéressants notamment dans sa morphologie générale, exceptionnelle chez les *Ectinosomidae*. Le corps aplati, avec le grand développement du céphalothorax, les pattes thoraciques courtes, garnies d'addendes forts permettent certainement une bonne adhérence de l'animal au substrat. Contrairement à ce que nous avons observé pour *L. drachi*, *P. bryozoophila* se déplace activement sur le bryarium mais ne l'abandonne que rarement. *T. knoeppfleri* appartient à un genre bien connu pour sa résistance à un hydrodynamisme violent (MARCUS, 1963) mais nous n'avons pu faire d'observations sur le vivant. Enfin, *I. parasimulans* présente

également un aplatissement du corps marqué et la plupart des espèces de ce genre ont été recueillies lors de lavages d'Algues ou d'Invertébrés marins (Lamellibranches, Hydraires, etc.). Cependant nous n'avons récolté qu'un seul exemplaire de cette forme et nous ne pouvons conclure à une localisation particulière sur un Bryozoaire.

RÉSUMÉ

Description d'un genre nouveau de Copépodes Harpacticoïdes, *Peltobradya* (*Ectinosomidae* Sars) et de trois espèces nouvelles, *P. bryozoophila* n. sp., *Tegastes knoepffleri* n. sp. et *Idomene parasimulans* n.sp., récoltés sur quelques Bryozoaires de la région de Banyuls-sur-Mer.

SUMMARY

Description of a new genus of *Copepoda Harpacticoidea*, *Peltobradya* n.g. (*Ectinosomidae* Sars) and of three new species, *P. bryozoophila* n.sp., *Tegastes knoepffleri* n.sp. and *Idomene parasimulans* n.sp., collected on some Bryozoans of Banyuls-sur-Mer.

ZUSAMMENFASSUNG

Die Autoren beschreiben eine neue Gattung von harpacticoïden Copepoden, *Peltobradya* n.g. (*Ectinosomidae* Sars) und drei neue Arten, *P. bryozoophila* n.sp., *Tegastes knoepffleri* n.sp. et *Idomene parasimulans* n.sp. die auf Bryozoen in der Gegend von Banyuls-sur-Mer gefunden wurden.

BIBLIOGRAPHIE

- BRADY, G. S., 1910. Die marinen Copepoden der deutschen Südpolar-Expedition. *Deutsche Südpolar-Exped.*, 1901-03, 11 (3).
LANG, K., 1948. Monographie der Harpacticiden. Lund. 2 V.
LANG, K., 1965. Copepoda Harpacticoidea from the Californian Pacific Coast. *Kungl. Svenska Vetenskapsak. Hand.*, 10 (2), 1-560.

- MARCUS, A., 1963. *Tegastes elenae* n. sp., Harpacticoïde nouveau de la Mer Noire. *Vie Milieu*, 14 (3) : 561-569.
- MEDIONI, A., SOYER, J., 1966. *L. ? drachi* n. sp., Copépode Harpacticoïde associé au Bryozoaire *Schismopora armata* (Hincks 1860). *Vie Milieu*, 17 (2-A) : 1053-1063.
- MONARD, A., 1936. Note préliminaire sur la faune des Harpacticoïdes marins d'Alger. *Bull. Stat. Acqu. Pêche Castiglione*, 45-85.
- VERVOORT, W., 1964. Free-Living Copepoda From Ifaluk Atoll In the Caroline Islands. *U.S. Nat. Mus. Bull.*, 236, 1-431.
- WELLS, J. B. J., 1965. Two new genera of Harpacticoid Copepods of the Family Ectinosomidae. *Revista Biol.*, 5 (1-2), 30-35.

Manuscrit reçu le 25 novembre 1966.

